

## 軸力の影響を考慮した構造物の地震応答解析

鹿児島大学工学部 学生員 ○大田英司  
鹿児島大学工学部 正員 河野健二

**1. まえがき** 1995年に阪神大震災が起こり、多くの建物や土木構造物が倒壊し広域にわたる火災の発生があり、5500人を超える犠牲者が出た。これにより、水平振動のみを考慮した現行の設計基準が見直されており、軸力の影響についても検討が加えられている。そこで、本研究では、軸力の影響としてP-△効果の影響と鉛直地震動を入力した場合の影響を検討した。

**2. 地震応答解析方法** 本研究では、水平地震動に第1種地震動(Eqak1)、第2種地震動(Eqak2)、第3種地震動(Eqak3)、Elcentro NS の4種類の加速度記録を最大加速度 200gal として、鉛直地震動に Elcentro VR の加速度記録を最大加速度 100gal として用いた。1自由度構造モデルを想定し、モデル化したものを(図-1)に示す。このモデルの運動方程式を求め、Newmark's β法を用いて地震応答解析を行った。この場合 P-△効果なしは式の第3項の第1項のみによる場合であり、P-△効果ありは式の第3項の第2項までを含む場合であり、鉛直およびP-△効果ありは式の第3項を全て含む場合をそれぞれ表している。比較方法としては、それぞれの r.m.s. 応答と Peak Factor を計算し、その比較を行う。ここで、構造物の固有周期  $T_0$  と座屈荷重の関数  $mg/Pcr$  をパラメーターとする。次に、基礎地盤の動的相互作用の影響を考慮した構造物モデルを想定し、モデル化したものを(図-1)に示す。このモデルについても同様の方法で上部構造物、基礎構造物、ロッキングについてそれぞれ方程式を求め、Newmark's β法を用いて地震応答解析を行った。ここで上部構造物、基礎構造物、ロッキングそれぞれの固有周期  $T_{so}$ 、 $T_{eo}$ 、 $T_{ro}$  と座屈荷重の関数  $mg/Pcr$  と上部構造物と基礎構造物の質量比  $m_0/M_0$  をパラメーターとする。

$$\ddot{\delta} + 2\zeta \omega_b \dot{\delta} + \omega_b^2 \left( 1 - \frac{mg}{Pcr} - \frac{m\ddot{v}}{Pcr} \right) \delta = -\ddot{U}$$

**3. 解析結果** (図-2)は、固有周期を 1.0s にとり、 $Pcr/mg$  をパラメーターとして Elcentro NS と Elcentro VR を入力したときの r.m.s. 応答の比較であるが、鉛直の影響はほとんど見られない。P-△効果は  $Pcr/mg$  が約 0.05 以下で小さくなり、それ以上で大きくなる。(図-3)は、固有周期を 1.5s にとり Eqak1、Eqak2、Eqak3 を入力した場合の比較である。Eqak1 で P-△効果が小さくなり、Eqak2、Eqak3 で P-△効果が大きくなる。(図-4)は、固有周期を 1.0s で Elcentro 入力した物の P-△効果 & 鉛直入力と P-△効果ありの比だが、その比は最大 0.4% 程度である。(図-5)は、固有周期を 1.0s 地震波を入力した物の P-△効果ありとなしの比である。パラメーターによっては最大 50% 程度の P-△効果が見られる。特に Eqak2 で効果が見られる。(図-6)、(図-7)は、上部構造物と基礎の質量比をパラメーターにとり、Elcentro 地震波を入力した場合の上部構造物、基礎構造物による変位の r.m.s. 变化応答を示したものである。これらを見ると、鉛直入力の影響はほとんどなく、P-△効果が上部構造物で約 19%、基礎構造物で約 10% 見られる。(図-8)は、 $mg/Pcr$  をパラメーターとして Eqak1、Eqak2、Eqak3 を入力した場合を示している。ここで Eqak2 では P-△効果が約 10%、Eqak3 では約 20% 見られるのに対し、Eqak1 では最大約 50% も P-△効果が見られる。

**4. あとがき** 1自由度モデルにおいても基礎地盤の動的相互作用の影響を考慮したモデルにおいても鉛直入力の影響はほとんど見られない。P-△効果については約 10~20% の影響が見られるが、パラメーターや入力地震波によって小さくなることもある。

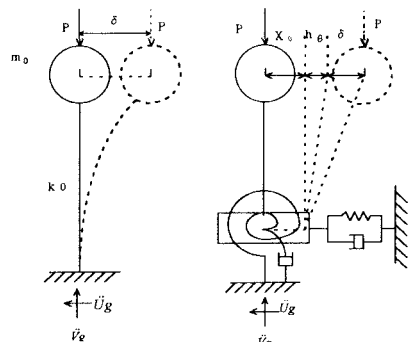


図-1 解析モデル

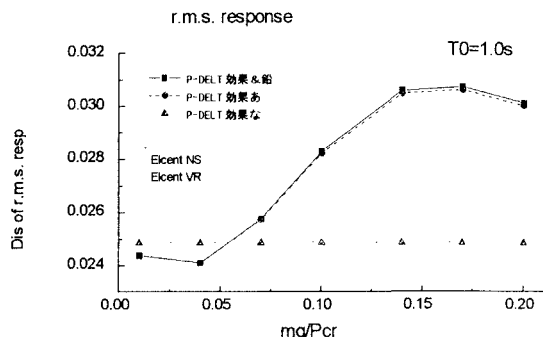


図-2 r.m.s.応答に及ぼすP-△効果

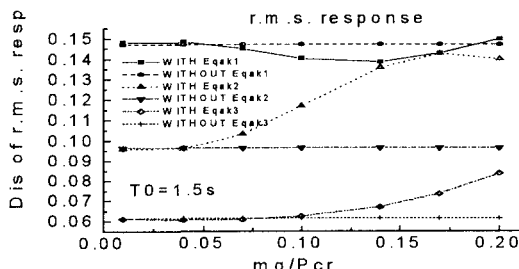


図-3 P-△効果と入力地震動の関係

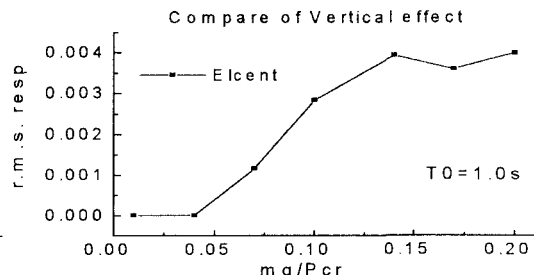


図-4 r.m.s.応答に及ぼす鉛直地震動成分の影響

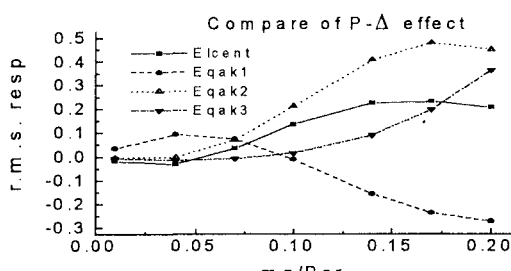


図-5 r.m.s.応答に及ぼすP-△効果

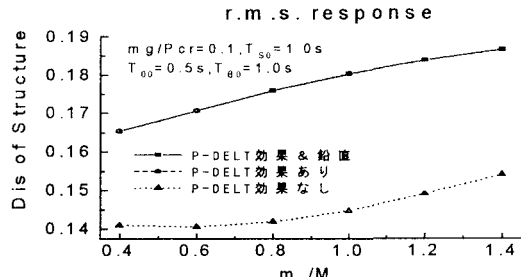


図-6 P-△効果に及ぼす動的相互作用の影響

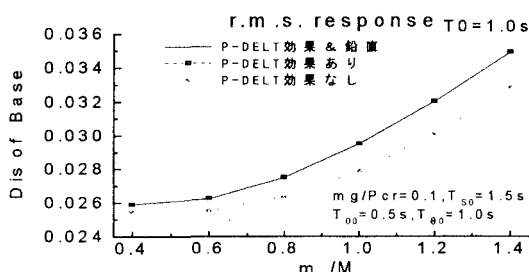


図-7 P-△効果に及ぼす動的相互作用の影響

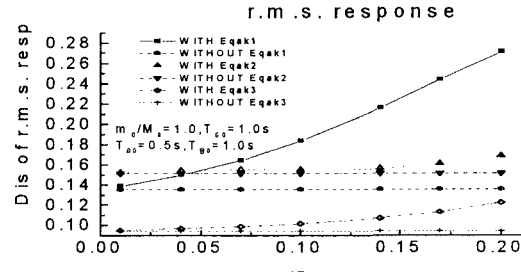


図-8 入力地震動がP-△効果に及ぼす影響